

Pt-Ga, In, Tc

1947

VIII 1615

ZaTl, CeBi, CePb₃, PrGa₂
(T_m)

Tandelli A.,

Gazz. chim. ital.,

1947, 77, 24

Circ. 500

6

PrGa Bp - 1616 - VIII 1949

Pr₃ Ga

Jandelli A

Pr₃ Ga₂

PrBa₂

Fazz. chim. ital.

1949, 79, 80 - 79

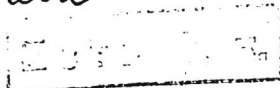
Tm; Zr

Mg₂ / Re = Y, La, Ce, P₄, Nd, Sm,
Gd, Tb, Dy, Ho, Er). 1961
(Krisčin. cínp-pa)

Haszko S.

VIII 4241

Trans. Metallurg. Soc. U.S.S.R.,
1961, 221, or 1, 201-202



PN, 1961, 82242 111

~~данные~~ ВФ - 2888 - VIII

1963

23 Б509. О взаимодействии селенидов $A_2^{III}B_3^{IV}$ пра-
зеодима и галлия. Насибов И. А., Каравэ З. Ш.
«Азэрб. кимја ж., Азерб. хим. ж.», 1963, № 5, 105—111

Термографическим и рентгенографич. методами в со-
четании с определением микротвердости изучена диа-
грамма состояния системы Pr_2Se_3 — Ga_2Se . Обнаружено
образование хим. соединений $PrGaSe_3$ (I) и $PrGaSe_{7,5}$
(II). Приведены межплоскостные расстояния и относи-
тельные интенсивности линий этих соединений. I и II
обладают полупроводниковыми свойствами. Электропро-
водность селеногаллатов празеодима при комнатной т-ре
характеризуется значениями, близкими к $10^{-9} \text{ ом}^{-1} \text{ см}^{-1}$.
При 80° I и II имеют соответственно следующие зна-
чения электропроводности, в $\text{ом}^{-1} \text{ см}^{-1}$: $1,75 \cdot 10^{-2}$,
 $2,95 \cdot 10^{-2}$. Изучена температурная зависимость $\sigma = f(t)$
для сплавов различного состава. I обладает электронным
типов проводимости II — дырочным. Изучено действие
к-т на I и II. В бензоле, толуоле, спиртах селеногаллаты
не растворяются, I и II плавятся в вакууме
 $\sim 10^{-3}$ мм рт. ст. при 1200 и 1225° соответственно.

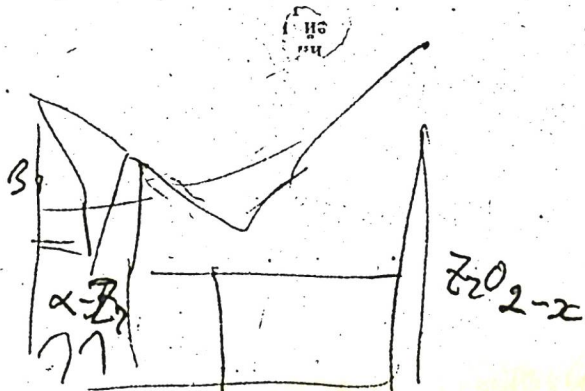
Я. Шенкин

Pr_2Se_3

$Pr_2Se_{7,5}$

(T_m)

г. 1964 № 2



Z_2

Z_{20}

Z_{202}

$\text{LaGaS}_3(\text{Sc}_3)$, $\text{CeGaS}_3(\text{Sc}_3)$, $\text{PdGaS}_3(\text{Sc}_3)$

1967

$\text{NbGaS}_3(\text{Sc}_3)$, $\text{SmGaS}_3(\text{Sc}_3)$ (T_m)

VIII 614

Эфендиев Г.Х., Карабб З.М.

З (Б. "Халькогениды" Киев, Наук. думка, 1967, 133-170

Система аморфного сплава - с кристаллизацией
редкоземельных элементов

РДН. Карт. 1967

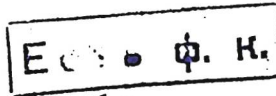
ECTL ф. 58 (9)

235416

PK (var = P-22, species Cz or Pen; 1965
X = Cei, Rig, Zn, Cd, Hg u Sc)
(species: esp-pa) VIII 4235

Tandelli A.; Palenzona Q;

Y. Less - Common metals,
1965, ♀, no, 1-6

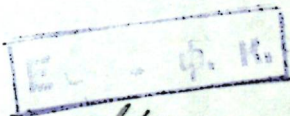


U.S.

PK, 1966, 85348

$\text{A}_{\text{Sn}_3}, \text{A}_{\text{In}_3}$ ($G = P3\bar{2}1$) I4234
1965
(refract. comp. - $\beta\alpha$)

Harris T.R., Raynor et al.,
J. Less-Common Metals,
1965, 9, no 1, p. 719



PX, 1966, 85339.

La₃TiC_{0.7}; Pt₃TiC; Pt₃TiC^{b966};
Dy₂GaC; Dy₃TiC; Pt₃Ti.
VIII a,b,c. VIII 3860 - (6) ue

Haschke H., Nowotny H.,
Benesovsky F.,
Monatsh. Chém., 1966, 97, N3
716-717 (recen.)

РХСХ, 1967, N12(I) - 125651

TR₃MC

M = In, Ga, Tl, Sn u Pb.

1966

VIII

kp. emp.

Kaschke H., Nowotny H., Benešovský F.

Monatsh. Chem., 1966, 97, N 5, 1469-1471 (neur.).

Perowskit-Carbide mit S.E.-Metallen. (Kurze Mitt.)

Max, 1964, 18 B 643.

④ Me

γ Cu, Cu₂Fe₃O₈, Y₃Al₅O₁₂, Y₂O₃, La₂O₃, 1966
Pr₂Tn, Tm₂n, Y₂Tn, Tm₃Tb₂Tn Pt₂, Y₂Pt₂,
Tb₂Fe₃, Y₂Al₅O₈, Y₂Al₅O₁₂, Tb₂Tn₃, Tm₂Tn₃,
Y₂Tn₃, Eu₂Tl₃, Tb₂Tl₃, Tm₂Tl₃, La₂Pt₃, Pr₂Pt₃,
Nd₂Pt₃, Sm₂Pt₃, Tb₂Pt₃, Tm₂Pt₃, Y₂Pt₃, La₂Tn₃,
Ce₂Pt₃, Ce₂Tn₃, Pr₂Tn₃, Nd₂Tn₃, Y₂Al₅O₁₂.

(Kruscik. cusp-70)

Moriarty J. L., Humphreys J. E.,
Gordon R. O., Baenziger H.,
Acta crystallogr., 1966, 21, n⁵, 840

PL, 1967, 3222¹³ 111

Уфа (M=У, РЗД, краине 81, 48)
Красн. Сура-рп VIII 6/1967
Dwight J. E., Dewdney G. W., Con-
nor R. A., Acta crystallogr.
1967, 23, N5, 860

PX 1968
№ 5377

Ми

III Ce₅Ga₃ u Pr₅Ga₃.

1968

kp. exp.

Dzhika D.I., Tlagmanskii E.I.
Kurnikovskii II.I.

Donskogo AH YPCP, 1968, A, N 3, 282-284 (rus.)

Синтез Ce₅Ga₃ i Pr₅Ga₃ na ik кристализацii
с рентгено.

PK, 1968, 196471



∅ Me

RX_2 $P_1 = P_3$ II; $K = L_1, Ag, Cu, Fe, Cd$
 (Ag, Cu, Fe) 1968
Specie. Cepo-pa) VIII 4231

Trudelli R, Palenzona A.,
J. Less - Common Metals,
1968, 15, 13, 273-284

Publ. 1968, 122154

1970

Pr₂(MoO₄)₃

20 Б802. Молибдат празеодима Pr₂(MoO₄)₃. Дро-
бышев Л. А., Пономарев В. И., Фролки-
ца И. Т., Белов Н. В. «Кристаллография», 1970, 15,
№ 3, 461—465

крист
сир-ра

Рентгеновское и термографич. изучение $\text{Pr}_2(\text{MoO}_4)_3$ привело к обнаружению L -модификации. Установлено образование N -модификации при термообработке выше 1060° и подтверждено образование N -модификации в интервале t -р 732 — 990° (см. Nassau K. и др. Z. Phys. Chem. Solids 1965, 26, 1805). Высокот-рные рентгенография и термография N -модификации выявили 6 фазовых переходов ($120, 160, 350, 800, 925, 990^\circ$). Выполнены предварительные рентгеноструктурные исследования монокристаллов L -модификации $\text{Pr}_2(\text{MoO}_4)_3$, позволившие отнести структуру к кристаллохим. группе шеелита.

Автореферат

X. 1970. 20

PrIn₃

BP - 5070 - VIII

1944

(123020) Thermodynamics of molten praseodymium-indium alloys. Degtyar, V. A.; Bayanov, A. P.; Vnuchkova, L. A.; Serebrennikov, V. V. (Sib. Metall. Inst., Novokuznetsk, USSR). *Zh. Fiz. Khim.* 1971, 45(7), 1816-18 (Russ). An emf. method was used for the thermodynamic study of molten Pr-In alloys at 725-975°K and with a Pr content <8 at. %. Partial-molar and integral thermodynamic characteristics of molten alloys and the PrIn₃ compd. were calcd. The solv. of Pr in molten In was detd.

Jiri Beevar

Tep. usy.:
- Eb-Ba

C.A. 1944. 45.20

PrIn₃

B90 - 5070 - VIII

1971

24 Б893. Термодинамика жидких празеодим-индивых сплавов. Дегтярь В. А., Баянов А. П., Виучкова Л. А., Серебренников В. В. «Ж. физ. химии», 1971, 45, № 7, 1816—1818

ΔG

Методом э. д. с. изучены термодинамич. св-ва сплавов Pr—In при т-рах 725—975°К и содержании Pr 0,24—6,62 ат.%. Рассчитаны парц.-молярные и интегральные термодинамич. характеристики жидк. сплавов. Коэф. активности Pr повышается с ростом т-ры по ур-нию $\lg \gamma(\text{Pr, жидк.}) = 3,793 - 10,531/T \pm 0,039$. Изменение энергии Гиббса при образовании PrIn_3 из тв. элементов описывается соотношением $\Delta G(\text{PrIn}_3) = -231,5 + 0,065 T \pm 0,6 \text{ кдж/г-моль}$. Р-римость Pr в In изменяется с т-рой по ур-нию $\lg (\text{ат. \% Pr}) = 3,427 - 2730/T \pm 0,071$.

Автореферат

X. 1971. 24

ReGa, NdGa, SmGa, GdGa, (T₁)
TbGa, DyGa; HoGa, ErGa (Kropu) 1971

Fujii H., Shohata N., Okamoto T,
Tatsumoto E.

VII 5396

J. Phys. Soc. Jap., 1971, 31, N5, 1592 (sum.)

Magnetic properties of rare earth
gallium compounds. R Ga.

JR ⑩ 3

CA, 1972, 46, N8, 39135S

LaIn_3 , CeIn_3 , PrIn_3 (cp) VII 5419 1971

Nasu S., Van Diepen R.H., Neumann H.H.,

Craig R.S.

J. Phys. and Chem. Solids, 1971, 32, N12,
2775-2777 (aum)

Specific heats of LaIn_3 , CeIn_3 and PrIn_3 at
temperatures between 1,5 and 20K.

DHI Xum, 1972

135577



AN. B (P) 5

LaIn_3 , CeIn_3 , $\text{PrIn}_3(\text{Cp})_8$ 1971

Van Diepen A.M., Craig R.S.

Wallace W.E., VIII 5192

J. Phys. Chem. Solids, 1971, 32, N8,
1867 - 72 (amur.)

Crystal field and magnetic
heat capacity in PrIn_3 and
 CeIn_3 .

for CP

9

CA, 1971, 75, N22, 133739t

VIII - 5988

1972

F₁P₂T_{C₂} uop. (abc)

Kabze S, Julien-Pouzol R, Guittard R.

C. r. Acad. sci.", 1972, c 275, n° 22,
1367-1370 (opposus).

Mr. ecte sparsas

Лебеди (46) 8 VIII 5266 1972

Бибикова И.И., Бакинов А.Н.,

Серебренников В.В.

Регистрация № 11. физ. культуры СССР,
М. Д. 1972, № 3955 - 72 (Den).

Лебединые операционные
способы при гемодиализе с мониторингом
PH. Декрет, 1972

18 6746 Den

А! Den op-k.

Pn₃In, Nd₃In (Tet). 8 1973
viii 5960

Hutchings R.S., Wallace W.E.,
Mereson N.

Report 1973, COO-3429-10, 12pp. (Eng).

Magnetic properties of
(Ln₃In) intermetallic compounds.

(From Nach. Sci. Abdr. 1973, 28(6), 13253)

$\text{Pr}_6\text{Ga}_{10/3}\text{Se}_{14}$ Lozac'h

1973

Anne-Marie, Mlle; et al.

полигони

"Bull. Soc. Chim. France"

напа.
пленки

1973, jan., part 1, 6-11, IV



(см Gd_2Se_3 ; I)

Pr₃In

1973

(T_{tr})

114101r Magnetic properties of Ln₃In intermetallic compounds. Hutchens, R. D.; Wallace, W. E.; Nereson, N. (Dep. Chem., Univ. Pittsburgh, Pittsburgh, Pa.). *J. Solid State Chem.* 1974, 9(2), 152-4 (Eng). Results of magnetic studies of Ln₃In phases (Ln = Pr, Nd, Gd, Dy and Er) are presented. All materials exhibited Curie-Weiss behavior in the paramagnetic regions with effective moments approximating $g[J(J+1)]^{1/2}$ for the tripos. ion. Pos. Weiss consts. were obsd. indicating predominance of ferromagnetic exchange. Pr₃In and Nd₃In order ferromagnetically at 62 and 114°K, resp. However, the ordered moment is <10% of gJ. Dy₃In and Er₃In also seem to order ferromagnetically, but with low moments compared to gJ. Gd₃In exhibits metamagnetic behavior with a crit. field of ~5 kOe. Neutron diffraction measurements on Nd₃In indicate that it is ferromagnetic and confirm the low Nd³⁺ moment.

C.A.1974. 80. 1120

+4

1973

Pr₃In

Nd₃In

Pt₃In

Dy₃In

Er₃In

85: 71388y Magnetic properties of Ln₃In intermetallic compounds. Hutchens, R. D.; Wallace, W. E.; Nereson, N. (Dep. Chem., Univ. Pittsburgh, Pittsburgh, Pa.). *Proc. Rare Earth Res. Conf.*, 10th 1973, 2(CONF-730402-P2), 622-6 (Eng). Edited by Kevane, Clement J.; Moeller, Therald. NTIS: Springfield, Va. The magnetic properties of a series of In-rare earth intermetallic compds., Pr₃In, Nd₃In, Gd₃In, Dy₃In and Er₃In were detd. These compds. obey Curie-Weiss behavior in the paramagnetic region and have pos. Weiss consts. Pr₃In and Nd₃In showed ferromagnetic ordering with Curie temps. of 62 and 114°K, resp. Gd₃In showed metamagnetism, whereas Dy₃In and Er₃In showed Curie points of ~140° and 50°K, resp. The ordering of the moments in Nd₃In was studied by neutron diffraction. The high Curie point and low Nd³⁺ moment indicated a strong crystal field in Nd₃In.

(Ttr)

④4

C.A. 1976-85 n10

1973

Pr₃In

(Ttz)

20775m Magnetic properties of (Ln₃In) intermetallic compounds. Hutchens, R. D.; Wallace, W. E.; Nereson, N. (Dep. Chem., Univ. Pittsburgh, Pittsburgh, Pa.). Report 1973, COO-3429-10, 12 pp. (Eng). Avail. Dep. NTIS. From *Nucl. Sci. Abstr.* 1973, 28(6), 13233. Results of magnetic studies of Ln₃In phases (Ln = Pr, Nd, Gd, Dy, and Er) are presented. All materials exhibited Curie-Weiss behavior in the paramagnetic regions with effective moments approximating $g\sqrt{J(J+1)}$ for the tripos. ion. Pos. Weiss consts. were obstd., indicating predominance of ferromagnetic exchange. Pr₃In and Nd₃In order ferromagnetically at 62 and 114°K, resp. However, the ordered moment is <10% of gJ. Dy₃In and Er₃In also seem to order ferromagnetically, but with low moments compared to gJ. Gd₃In exhibits metamagnetic behavior with a crit. field of ~5 kOe. Neutron diffraction measurements on Nd₃In indicate that it is ferromagnetic and confirm the low Nd³⁺ moment.

C.A.1974.80.114

+4

1973

VIII-5975

Pr₃In

(Curie)

C.A. 1974. 80

N2

8449a Magnetic properties of praseodymium-indium (Pr,In). Stalinski, B.; Czopnik, A.; Iliew, N.; Mydlarz, T. (Inst. Low Temp. Struct. Res., Pol. Acad. Sci., Wroclaw, Pol.). *Phys. Status Solidi* 71, 1973, 19(2), K161-K164 (Eng). The magnetic properties of polycryst. Pr,In were measured at 4.2-300°K, at ≤ 80 kOe. Above 80°K, the magnetic susceptibility follows the Curie-Weiss law with the effective magnetic moment 3.37 μ_B and the paramagnetic Curie temp. $\theta = +22^\circ\text{K}$. The no. of valence electrons must be > 2.4 . The coupling const. $|\Gamma| = 0.18$ eV. The elec. charges both on In and Pr ions are pos. In moderate fields, the magnetization curves exhibit 2 max., one at $\leq 20^\circ\text{K}$ and the other at $\sim 54^\circ\text{K}$. The former max. shifts to lower temps. either on increasing or decreasing the magnetic field strength from ~ 2.5 kOe, and vanishes at ≥ 20 kOe. Similarly, the 2nd max., occurring at a temp. very close to the Curie temp. of the ferro- to paramagnetic phase transition, disappears at ≥ 3 kOe. The Curie temp. for Pr,In, $T_c = 56.5 \pm 0.5^\circ\text{K}$, is significantly higher than that obtained for Pr,Tl ($T_c = 11.3^\circ\text{K}$). This is probably connected with the apparently much larger anisotropy in the case of Pr,In. The results obtained are consistent with the induced-ferromagnetism model.

Pr₃In, Nd₃In, Gd₃In, VIII 6022 1974.
Dy₃In, Er₃In (T_{E2}).

Hatchers R.D., Wallace W.E.,

Nelson N.,

J. Solid State Chem., 1974, 9(2),

152-4.

magnetic properties of La₃In
intermetallic compounds.

AN (C)

⁶ C.A. 1974, 80, N20, 1131011.

XVIII-141

1974

LaIn₃, CeIn₃, PrIn₃, NdIn₃, SmIn₃,
GdIn₃, TbIn₃, DyIn₃, HoIn₃, ErIn₃, TmIn₃,
YbIn₃, LuIn₃ LaTl₃, CeTl₃, PrTl₃, NdTl₃, GdTl₃,
TbTl₃, DyTl₃, YbTl₃ / dHf, dSm, dSm)

Palenzon R., Cirafici S.

Thermochim. acta, 1974, 9, N4, 419-425

Ad.

XVIII-341

1974

LaSn₃, CeSn₃,
PrSn₃, NdSn₃, SmSn₃, EuSn₃, GdSn₃, YtSn₃,
LaIn₃, CeIn₃, PrIn₃, LaPb₃, CePb₃, PrPb₃, NdPb₃,
SmPb₃, EuPb₃, GdPb₃, TbPb₃, DyPb₃, HoPb₃, ErPb₃,
TmPb₃, YbP₃, LaTl₃, CeTl₃, PrTl₃NdTl₃, SmTl₃,
GdTl₃, TbTl₃, DyT₂₃YbTl₃ (soft, Tm, dura)

Patenzzone A, Cirafici S.

Anal. Calorim. Vol. 3. New York-London, 1974,

743-756

CCIT QK

Art. II

Рт GaS₃ · 3H₂O | Bsp. 477-XVIII | 1975

15 B12. Получение и исследование свойств тиогаллатов РЗМ. Наиобашвили Е. М., Гамкрелидзе Р. В. В сб. «Получение и исслед. свойств соедин. РЗМ». Киев, 1975, 141—145

Приведены результаты исследования системы Li₃GaS₃—PrCl₃—H₂O методом остаточных конц-ий и установлено, что в пределах PrCl₃:Li₃GaS₃=0,5—1,8 ([Li₃GaS₃]=3,8·10⁻³ M, [PrCl₃]=(1,90—6,84)·10⁻³ M) образуется PrGaS₃ · 3H₂O (I). Аналогично ведут себя системы, содержащие др. РЗЭ. Выделены также Nd-GaS_{2,95} · 4H₂O (II), EuGaS₃ · 4H₂O (III), Gd_{1,1}GaS₃ · 3H₂O (IV), HoGaS₃ · 5H₂O (V) и LuGaS_{2,95} · 4H₂O (VI). По данным рентгенофазового анализа и ИК-спектров, I—VI являются индив. соединениями. В атмосфере He т. пл. I—VI достигает 1500°, в присутствии O₂ легко окисляются. При 150—200° на воздухе I—VI обезвоживаются, при 350—800° окисляются до окислов и сульфатов Ga и РЗЭ. I—VI обладают полупроводниковыми св-вами. Вычислены значения энергии активации примесной и собственной проводимости тиогаллата эрбия,

(T_m)

X. 1975. NIS

равные 0,3 и 0,23 эв соотв. ($T=508^{\circ}\text{K}$). Для MGaS_3 ,
где $M=\text{Nd}, \text{Er}$ и Lu , приведены значения частот полос
поглощения ИК-спектров.

В. П. Романов

дии

Tl₂P₂/MnO₄)₂ BOP-1495-XVIII 1976

Tiepenkessela A. N. Augt

(T_{tr})

Mr. Kloppe, XII. 1976,
21, XII, 2918-23

T

Car. Tl₂Sc(MnO₄)₂

РуГнх

Вип-1375-XVIII

1946

2 Б783. Теплоты образования сплавов празеодима с индием. Серебряников В. В., Новоженов В. А., Школьникова Т. М. «Ж. физ. химии», 1976, 50, № 9, 2401—2402

(ΔHf)
Калориметрически определены теплоты р-рения и по ним рассчитаны теплоты образования сплавов празеодима с индием при 25° при содержании празеодима до 87 ат. %.

Резюме

Х 1977 №

PrIn_3

Pr_2In_3

PrIn

(ΔH_f)

BGP-1375-XVIII

1976

86: 61315d Heats of formation of praseodymium-indium alloys. Serebrennikov, V. V.; Novozhenov, V. A.; Shkol'nikova, T. M. (Tomsk. Gos. Univ. im. Kuibysheva, Tomsk, USSR). *Zh. Fiz. Khim.* 1976, 50(9), 2401-2 (Russ). The heat of alloying and the heat of formation, ΔH_f , of intermetallic compds. in the In-Pr system were calcd. from the calorimetrically detd. heat of soln. of the alloys in 5N HCl. The values of ΔH_f are -15.6, -15.2, and -13.5 kcal/g-atom for PrIn_3 , Pr_2In_3 , and PrIn , resp. In agreement with P. M. Robinson and M. P. Biver (1973), the bonding in these compds. is mainly metallic with ionic and covalent contributions. By comparing the ΔH_f for PrX_3 compds., where X = In, Tl, Sn, and Pb, the stability decreases as: $\text{PrIn}_3 > \text{PrSn}_3 > \text{PrPb}_3 > \text{PrTl}_3$

C.A. 1977. 86. N10

Pr-Ga

Goshorn David P.

1974

et al

"Phys. Rev. B: Solid State";
1977, 15, N7, 3527-3533.

(Cp)



(ass. Pr-Ga)₁

1978

PrT_g

Fryanova T. V., et al.

Zh. Fiz. Khim. 1978, 52(2),

504-5.

Δ M_f



(Cu₂LaT_g; I)

1978

Pr₃Tl

Tc vs P

88: 162846z Magnetic properties of an induced ferromagnet; praseodymium-thallium (Pr₃Tl), under hydrostatic pressure. Guertin, R. P.; Crow, J. E.; Missell, F. P.; Foner, S. (Phys. Dep., Tufts Univ., Medford, Mass.). *Phys. Rev. B* 1978, 17(5), 2183-91 (Eng). The magnetization σ of the induced ferromagnet Pr₃Tl was measured as a function of magnetic field,

temp., and hydrostatic pressure for $0 \leq H_2 \leq 60$ kG, $1.4 \leq T \leq 20$ K, and $0 \leq P \leq 9.3$ kbar. The Curie temp. ($T_c = 1/2$ K at $P = 0$) is reduced rapidly by pressure at the rate $dT_c/dP = -1.5$ K/kbar. At $P \gtrsim 8$ kbar the system is in the highly enhanced Van Vleck paramagnetic regime. The magnetic properties of Pr₃Tl are very sensitive to the balance between the cryst. elec. field and the exchange interactions; the strong effect of pressure is attributed to an increase in the cryst. elec. field with decreasing lattice const. A mol.-field theory provides only qual. agreement with the data. Calcns. are also presented which include the tetragonal symmetry of the cryst. elec. field for Pr³⁺. Exptl. limitations in detg. T_c and the spontaneous magnetization σ_0 are discussed. The relation between T_c and σ_0 as they are suppressed by pressure is compared with the mol.-field theory and a collective excitation model.

C.A. 1978, 82, n. 22

1978

*PrBr₃·TlBr**PrBr₃·2TlBr*

7 В7. Бромидные соединения празеодима. Молодкин А. К., Стрекачинский А. Б., Дударева А. Г., Ежов А. И. «Ж. неорган. химии», 1978, 23, № 12, 3316—3320

Методами ДТА, РФА и кристаллооптич. изучено взаимодействие бромидов Pr(3+) и Tl(1+), реагирующих между собой в расплаве. Установлено образование четырех соединений составов $\text{PrBr}_3 : \text{TlBr} = 9 : 1$, $4 : 1$; $1 : 1$; $1 : 2$. $9\text{PrBr}_3 \cdot \text{TlBr}$ образуется при 470° и распадается при 604° . $4\text{PrBr}_3 \cdot \text{TlBr}$ и $\text{PrBr}_3 \cdot \text{TlBr}$ плавятся инконгруэнтно при 480 и 464° соотв. $\text{PrBr}_3 \cdot 2\text{TlBr}$ плавится конгруэнтно при 530° . В интервале 83—90 мол. % PrBr_3 установлено существование области тв. растворов.

Резюме

(Tm)

ж. 1979 № 7

x. $\text{PrBr}_3 \cdot \gamma \text{TiBr}_3$

1978

90-128235f Praseodymium bromides. Molodkin, A. K.; Strekachinskii, A. B.; Dudareva, A. G.; Ezhov, A. I. (Univ. Druzhby Nar. im. Lumumby, Moscow, USSR). *Zh. Neorg. Khim.* 1978, 23(12), 3316-20 (Russ). The TiBr-PrBr₃ system was studied by DTA, crystallooptical, and x-ray phase anal. methods. Four compds. are formed: 9PrBr₃.TiBr forms at 470° and decomp. at 604°; 4PrBr₃.TiBr and PrBr₃.TiBr incongruently m. 480, 464°, resp.; PrBr₃.2TiBr congruently m. 530°. A region of solid solns. exists at 83-90 mol % PrBr₃.

(Tm)

CA.1979.G0N16

P_x Gas

1978

Tsai T.H., et al

of Appl. Phys, 1978, 49
(3, Pt.2), 1507-9

T Neel



abs. Ce Gas -

Pr₃Tl

1979

Cp; Tcurie

91: 31866v Resistivity and specific heat in an induced moment ferromagnet near threshold: praseodymium-thallium (Pr₃Tl). Bossard, P.; Bakanowski, S.; Crow, J. E.; Mihalisin, T.; Buyers, W. J. L. (Phys. Dep., Temple Univ., Philadelphia, PA 19122 USA). *J. Appl. Phys.* 1979, 50(3 Pt. 2), 1892-4 (Eng). The temp. dependence of the sp. heat and elec. resistivity was measured for Pr₃Tl. Pr₃Tl is an induced moment ferromagnet for which Λ/Δ is just above the threshold value for magnetic ordering where Λ is the interionic exchange and Δ is the cryst. elec. field splitting of the Pr³⁺ angular momentum multiplet. Above the Curie temp., the resistivity is substantially larger than would be expected from a single ion model. This addnl. contribution is attributable to the scattering from the low lying collective magnetic excitations. The temp. dependence of the resistivity and sp. heat is discussed.

C.A. 1949, 6, NY

1979

Pr-Ga

92: 29208j The praseodymium-gallium system from 0 to 50 at. % gallium. Cirafici, S.; Franceschi, E. (Ist. Chim. Fis., Univ. Genova, Genoa, Italy). *J. Less-Common Met.* 1979, 66(2), 137-43 (Eng). The Ga-Pr system at 0-50 at. % Ga was reexamd. by DTA, x-ray, and microg. anal. Three intermetallic compds. exist, Pr_2Ga , r_5Ga_3 , and PrGa ; their crystal structures were detd. They form peritectically at 705, 855, and 1015°, resp. A eutectic point occurs at ~18.5 at. % Ga (580°). A small solid solv. of Ga in Pr was obsd.

praseo-
gallum.

C.A. 1980. 62 N.Y

1979

 Pr_3In Pr In_3 (T_m)

91: 217644b Phase equilibria in the praseodymium-indium system. Delfino, S.; Saccone, A.; Ferro, R. (Ist. Chim. Gen., Univ. Genova, Genoa, Italy). *J. Less-Common Met.* 1979, 65(2), 181-90 (Eng). The Pr-In system was studied in the compn. range 30-100 at.% In by DTA, metallog., and x-ray examin. The Pr-rich alloys were reinvestigated and confirmed. The following intermediate phases were obsd.: Pr_3In (decomp. at 930 ± 10 , m. at $1190 \pm 15^\circ$) and PrIn_3 (m. $1210 \pm 15^\circ$). As well as the Pr-rich eutectic, 3 other eutectics occur: $\text{Pr}_{1+x}\text{In}_x$ $\approx \text{Pr}_3\text{In}_5$ ($1110 \pm 10^\circ$, 54.0 ± 0.5 at.% In), $\approx \text{Pr}_3\text{In}_5-\text{PrIn}_3$ ($1130 \pm 10^\circ$, 65.0 ± 0.95 at.% In), and PrIn_3-In (155° , ≥ 99.5 at.% In). The crystal structures of Pr_3In (ordered-disordered cP4, AuCu_3 -type), Pr_3In (hP6, Ni_2In -type) and PrIn_3 cP4, AuCu_3 -type) were confirmed. An $\text{oC}32$, Pu_3Pds -type structure is proposed for the approx. Pr_3In_5 phase. The characteristics of the phase diagram are compared with those of the La-In and Nd-Tl systems. The mol. vols. of the Pr-In alloys are discussed and compared with those of a no. of binary rare earth alloys.

C. A. 1979.01.26

Pr₃Tl

1979

(C_p)

90: 96644v Hyperfine interactions in praseodymium-thallium (Pr₃Tl). Kobayashi, Tatsuo; Kawakami, Masayuki; Kasuya, Tadao (Dep. Phys., Tohoku Univ., Sendai, Japan). *J. Phys. Soc. Jpn.* 1979, 46(1), 36-9 (Eng). The sp. heat C_p of the ordered Pr₃Tl was measured between 0.4 and 4 K. It is expresses as C_p = 0.25T + 0.530T⁻² J/mol K at low temps. The 2nd term given the square av. of magnetization $\langle M^2 \rangle^{1/2} = 1.3 \mu\text{B}/\text{Pr}$. The spontaneous magnetization $\langle m \rangle$ of the same sample has also been found to be 0.75~0.8 $\mu\text{B}/\text{Pr}$. Pr₃Tl is thought to have a canting type ordering with the common ferromagnetic direction on the [111] axis. The canting angle is 45~48° from the [111] direction to the [100] direction.

C.A. 1979. 90 n 12

R - Ga

1979

Zvezretsoo A.N., et al.

spayob.
guarif.

Khim. Termoochir Teknich. Termokhim. 1979, 104-7,



coll. Ya - Ga - 5

1979

Pr_3Tl

91: 12849a Theory of the transition temperature and the magnetization in praseodymium-thallium (Pr_3Tl) under change of volume. Yang, D.; Lindgaard, P. A. (Risoe Natl. Lab., Roskilde, DK-4000 Den.). *J. Phys., Colloq. (Orsay, Fr.)* 1979, (C5), 134-5 (Eng). The Curie point T_c and the magnetization are calcd. by using a $1/z$ expansion of the std.-basis operator theory. A good agreement is obtained by using parameters deduced from dispersion relations. A simple linearized vol. dependence of both Δ and $j(q)$ accounts for the effect of pressure and diln. Both parameters increase strongly with increasing pressure.

T_{curie}

CA, 1979, 91, N2

1980

 $Pr_x Tl_y$ $Dy_x Tl_y$ (Tm) (+) 

94: 215305e Praseodymium-thallium and dysprosium-thallium systems. Delfino, S.; Saccone, A.; Capelli, R. (Ist. Chim. Gen., Univ. Genova, Genoa, Italy). *Congr. Naz. Chim. Inorg., [Atti], 13th 1980, 276-8 (Ital).* Univ. Studi Camerino; Camerino, Italy. Differential thermal, x-ray diffraction and metallog. methods were used to establish the Pr-Tl and Dy-Tl phase diagrams. In the Pr-Tl system the following eutectics occur: s.s. (β)- Pr_3Tl (750°), $PrTl$ - Pr_3Tls (1090°), Pr_3Tls - $PrTl_3$ (1035°), $PrTl_3$ -Tl (β) (300°) and eutectoid at 650° and 12 at.-% Tl. The intermetallic compds. $PrTl$, Pr_2Tl , and Pr_5Tl_3 decomps. peritectically at 800° , 940° , and 1010° , resp.; $PrTl$, Pr_3Tls and $PrTl_3$ melt congruently at 1260° , 1110° , and 1065° , resp. In the Dy-Tl system, 3 eutectics occur: s.s. (β)- Dy_2Tl () (1020°), Dy_3Tls - $DyTl_3$ (930°), $DyTl_3$ -Tl(β) (300°) and a eutectoid at 980° . The following intermediate phases were obsd.: Dy_2Tl (only on the base of thermal effects), $DysTl_3$ (dec. at $\sim 1200^\circ$), $DyTl$ (m.p. 1300°), $DysTls$ (dec. 1000°), $DyTl_3$ (m.p. 940°). A few crystallog. data for these compds. are also given.

C.A. 1981, 94 n 26

P₂Tl₃
(en.rab) 1980
Demykina T.K. et al

Узр. Akad. Nauk SSSR,
Met. 1980, (4), 58-60

Δ M_f
Δ G_f
Δ S_f

• Cee LaTl₃; \bar{I}

PrIn₃

(C_p)

~94: 162920t Nuclear cooling in praseodymium-indium (PrIn₃). Asahi, K.; Nishida, N.; Kobayashi, S.; Shinohara, M.; Ray, J.; Nakaizumi, A.; Iseki, Y.; Terui, K.; Sugawara, T.; et al. (Inst. Solid State Phys., Univ. Tokyo, Tokyo, Japan). *Phys. Lett. A* 1981, 82A(5), 244-6 (Eng). In the adiabatic demagnetization of PrIn₃, the lowest temp. obtained was 0.0021K. The obsd. temp. as a function of the demagnetizing field was reproduced in theor. calcns. by assuming the nuclear quadrupole interaction const. of In to be $e^2qQ/h = -230$ MHz. This value also gave a reasonable account of the sp. heat data for PrIn₃ reported by R. Hunik, et al., (1980).

1981

© A. 1981 G.W. SAD

PrTl

Pr_3Tl_5

PrTl_3

(T_m)

Omnuck 12096 1981

† 95: 31236x Phase equilibria in the praseodymium-thallium system. Delfino, S.; Saccone, A.; Ferro, R. (Ist. Chim. Gen., Univ. Genova, Genoa, Italy). *J. Less-Common Met.*, 1981, 79(1), 47-55 (Eng). The Pr-Tl system was studied in the compn. range 15-100 at.% Tl by using DTA, metallog., and x-ray examnn. The Pr-rich alloys were investigated and the published phase diagram was confirmed. The following intermetallic compds. were obsd.: Pr_3Tl (decomp. at 800°); Pr_2Tl (940°); Pr_5Tl_3 (1020°); PrTl (m.p., $1260 \pm 10^\circ$); Pr_3Tl_5 ($1120 \pm 10^\circ$);

PrTl_3 (m.p., $1065 \pm 10^\circ$). Four eutectics occur: β -Pr- Pr_3Tl (767° , 13.9 at.% Tl); PrTl - Pr_3Tl_5 (1090° , 58.0 at.% Tl); Pr_3Tl_5 - PrTl_3 (1035° , 69.0 at.% Tl); PrTl_3 - β -Tl (303° , >99.5 at.% Tl). β -Pr decomp. eutectoidally at 687° and 8.0 at.% Tl. The crystal structures of Pr_3Tl (ordered-disordered cP4 AuCu₃ and cF4 Cu types), Pr_5Tl_3 (tI32 W₅Si₃ type), PrTl (cP2 CsCl type), and PrTl_3 (cP4 AuCu₃ type) were confirmed. Pr_3Tl_5 has an orthorhombic oC32 Pu₃Pd₅ type of structure. The characteristics of the phase diagram and the molar vols. of the Pr-Tl alloys are compared with those of the Ce-Tl and Nd-Tl systems.

CA. 1981, 55N/4

1981

Tl₂InPrSe₄

94: 145971t Thallium praseodymium selenide-thallium indium selenide (TlPrSe₂-TlInSe₂) system. Godzhaev, S. M.; Orudzhev, K. D.; Mamedov, V. A.; Rzaeva, K. M.; Mamedov, Z. F. (Azerb. Inst. Nefti Khim., Baku, USSR). *Izv. Akad. Nauk SSSR, Neorg. Mater.* 1981, 17(2), 233-5 (Russ). The phase diagram was constructed from DTA and x-ray phase anal. data. Tl₂InPrSe₄ congruently m. 1143 K with eutectics at 1058, 1025 K and TlInSe₂ ~41, ~64 mol%, resp. The temp. dependence of the elec. cond. and thermoemf. of TlIn_xPr_{1-x}Se₂ ($x = 0.1-0.5$) solid solns. was detd.

(Tm)

C.L. 1981.04.118

PrBr₃ · 2TlBr

1981

Д 3 Б1187. Давление пара бромидных соединений некоторых редкоземельных элементов. Молодкин А. К., Стрекачинский А. Б., Дударева А. Г. «Ж. неорган. химии», 1981, 26, № 11, 3148—3150

Методом измерения скорости сублимации в-в из цилиндрич. тигля определено давл. пара над тв. $\text{LnBr}_3 \cdot 2\text{TlBr}$ ($\text{Ln} = \text{Pr, Nd}$); $3\text{NdBr}_3 \cdot \text{TlBr}$; $\text{NdBr}_3 \cdot \text{TlBr}$; $\text{TbBr}_3 \cdot 3\text{TlBr}$; $\text{TmBr}_3 \cdot 3\text{MBr}$ ($M = \text{Li, Na, Cs}$); $2\text{TmBr}_3 \cdot 3\text{CsBr}$; $2\text{TmBr}_3 \cdot 5\text{TlBr}$. Установлено, что давл. пара над всеми соединениями выше, чем давл. пара над соотв-щими им исходными LnBr_3 . Чем выше содержание летучего компонента (MBr) в соединении с менее летучим (LnBr_3), тем больше давл. пара над их соединением.

Резюме

P



(тг)

X. 1982, 19, N3.

① $\text{NdBr}_3 \cdot 2\text{TlBr}$
 $3\text{NdBr}_3 \cdot \text{TlBr}$ борог

② $\text{NdBr}_3 \cdot \text{TlBr}$ K^o
 $\text{TbBr}_3 \cdot 3\text{TlBr}$

3. $TmBr_3 \cdot 3LiBr$
4. $TmBr_3 \cdot 3NaBr$
5. $TmBr_3 \cdot 3CsBr$
6. $\begin{cases} \cancel{2TmBr_3 \cdot 3CsBr} \\ 2TmBr_3 \cdot 5TeBr \end{cases}$

PzTl

1981

Sekizawa Kazuko,
et al.

pazob.
nepexog.

J. Phys. Soc. Jap., 1981,
50, N 10, 3467 - 3471.

(cer. LzTl; \hat{m})

Pr - Ga
(cruab)

1982

199: 28897r Heats of formation of praseodymium-gallium alloys.
Novozhenov, V. A. (USSR). *Primenenie Fiz.-khim. Metodov v Issled. Sostava i Svoistv Khim. Soedin.*, Barnaul 1982, 136-40 (Russ). From Ref. Zh., Khim. 1983, Abstr. No. 8B1613. Title only translated.

(JfH⁰)

C. A. 1983, 99, N 4

Pr₆а, Pr₅ Ga₃
и др.

1982

У8 Б1613. Термодинамика сплавов праэодима с галлием. Новоженов В. А. «Применение физ.-хим. методов в исслед. состава и свойств хим. соедин.» Барнаул, 1982, 136—140

Калориметрическим методом определены и рассчитаны термодинамические характеристики сплавов праэодима с галлием в широком интервале концентраций (до 95 ат. % РЭМ) при 25° С. Наибольшую теплоту образования имеет интерметаллическое соединение состава PrGa₂ —90,8 кДж/г-атм. Термодинамические характеристики металлов, образующихся по перитектическим reactionам PrGa, Pr₅Ga₃ и Pr₃Ga равны —85,8, —72,4 и —49,4 кДж/г-атм соответственно.

Автореферат

X. 1983, 19, N8.

Pr-Ga

1985

102: 155711f The praseodymium-gallium system in the 66.7-100 at. % gallium range. Dayan, D.; Kimmel, G.; Pelleg, Joshua (Nucl. Res. Cent.-Negev, Beer-Sheva, Israel). *J. Less-Common Met.* 1985, 105(1), 149-60 (Eng). The study of the Pr-Ga system by x-ray diffraction, DTA, metallog., SEM and diffusion couples established that Ga has a wide solid solv. range in PrGa_2 (78 at.% Ga) and that PrGa_3 forms peritectically at $466 \pm 6^\circ$. The possible existence of PrGa_4 is postulated on the basis of indirect exptl. evidence.

gajbail
dearpanna

C.A. 1985, 102, N 18.

TlPrTe₂

1985

23 Б2463. Термофизические свойства TlPrTe₂. Годжадаев Э. М., Гадимов А. М., Вагиев А. Б., Джакарова С. З. «Физ. плазмы и конденсир. сред.» Баку, 1985, 141—144

X. 1985, 19, N 23.

9.12.1982 №4

1986

17 Б3101. Система InTe—Pr₂Te₃. Рустамов П.Г.,
Агаев А.Б., Мусаева Х.М. «Докл. АН АзССР», 1986,
42, № 10, 40—42 (рез. азерб., англ.)

Методами ДТА РФА, МСА, измерением микротвердости и плотности исследована система InTe—Pr₂Te₃ (1). Построена диаграмма состояния (1), к-рая относится к эвтектич. системе с перитектикой и является квазибиарным сечением тройной системы In—Pr—Te: при соотношении компонентов 50 моль % InTe—50 мол. % Pr₂Te₃ в системе образуется инконгруэнтно плавящееся тройное соединение InPr₂Te₄ (I). Определены микротвердость, плотность и параметры крист. решетки I.

Из резюме

X. 1987, 19, N 17

Luceneca [Om. 26732] 1987

$\text{Ba}_2\text{S}_3 \cdot \text{Pr}_2\text{O}_3$ Bakhtiyarov I.B.,

Mamedov A.N. et al.,

phys.
quarz. Z. Anorg. und Allg. Chem.;
1987, 545, N2, 197-201.

$\text{Ga}_2\text{S}_3 \cdot 2\text{Pr}_2\text{O}_3$

1987

107: 46982c The system gallium sulfide (Ga_2S_3)-praseodymium oxide (Pr_2O_3). Bakhtiyarov, I. B.; Mamedov, A. N.; Abbasov, M. (Inst. Inorg. Phys. Chem., 370143 Baku, USSR). Z. Anorg. Allg. Chem. 1987, 545, 197-201 (Eng). The phase diagram of the $\text{Ga}_2\text{S}_3\text{-Pr}_2\text{O}_3$ system was studied by DTA, x-ray diffraction, microstructural, and thermodn. anal. methods and by measurement of microhardness. The system is eutectic, the solv. of Ga_2S_3 at 295 K reaches 8 mol. %. There is 1. incongruently-melting compd. $\text{Ga}_2\text{S}_3 \cdot 2\text{Pr}_2\text{O}_3$ (1350°).

(II_m)

C.A. 1987, 107, N 6

Pr Tl

1987

Kadomatsu H.,

Karisu M., et al.

T_{t2} ;

J. Phys. F: Met. Phys.
1987, 17(12), L305-L309.

(cer. La:Ag; I)

Pr₂In₃Te₃

1989

Agaev A.B., Rustamov F.F.
et al.,

(Tm) Dokl. Akad. Nauk Az SSR
1989, 45(10) 40-2
Indium ^{III} telluride-praseody-
mium _{III} telluride system
C.A. 1991, 115, N4, 36480p

Pr₃InSe₆

1989

24 Б2047. Получение и структура Pr_3InSe_6 . Synthesis and structure of Pr_3InSe_6 / Aleandri L. E., Ibers J. A. // J. Solid State Chem. — 1989. — 79, № 1. — С. 107—111. — Англ.

Проведен РСТА при 123 К (λCu , 1864 отражения, R 0,065) Pr_3InSe_6 , полученного из порошков Pr, Se, In_2Se_3 в вакууме при 950° С. Параметры монокл. решетки: a 4,109, b 14,275, c 17,981 Å, β 103,27°, Z 4, ρ (выч.) 6,575, ф. гр. $P2_1/c$. Структура близка к Sm_3InS_6 и La_3InS_6 . Pr координирован Se по искажен. двухшапочной тригон. призме, квадратной антипризме, одношапочному октаэдру. Атом In координирован атомами Se по искажен. октаэдру. Межатомные расстояния: Pr—Se 2,911—3,281, In—Se 2,537—2,856 Å. А. Ю. Шашков

*получение и
структурата*

X. 1989, № 24

TLPrSe₂

1989

1 24 Б3147. Система TlSe—PrSe / Керимова Э. М.,
Гусейнов Г. Д., Агамалиев Д. Г., Мамедбейди С. Д.,
Наджафов А. И. // Изв. АН СССР. Неорган. матер.—
1989.— 25, № 8.— С. 1392—1394.— Рус.

С помощью ДТА, МСА, РФА и измерения микротвердости исследовано взаимодействие в системе TlSe (I)—PrSe (II). Построена диаграмма плавкости. Компоненты образуют соединение TlPrSe₂ (III) с т. пл. 1523 К (инконгруэнтио). Эвтектика — при 608 К и 5 мол. % II. При коми. т-ре в I р-ряется ~2 мол. % II. Отмечено полиморф. превращение III при 115 К.

Б. Г. Коршунов

Х. 1989, № 24

PrTlSe_2

1989

III: 181918j The thallium monoselenide-praseodymium monoselenide system. Kerimova, E. M.; Guseinov, G. D.; Agamaliev, D. G.; Mamedbeidi, S. D.; Nadzhafov, A. I. (Inst. Fiz., Baku, USSR). *Izv. Akad. Nauk SSSR, Neorg. Mater.* 1989, 25(8), 1392-4 (Russ). Physicochem. and anal. methods were used to study the TlSe-PrSe system and the phase diagram is presented for the entire concn. range and temps. between ~570 and 1870 K. A ternary compd. was obsd., TlPrSe_2 .

III;

c.A. 1989, III, n 20

1994

TlPr₂S₂

TlPr₂Se₂

TlPr₂Te₂

Зогдаев З.Н., Аманжолов Ж.А.

Термохим. и терм. температуры.

1994, 32, N5, C. 784-786

Термические свойства соединений
типа TlA^{III}X₂ (A^{III} = In, Pr, Nd;
X = S, Se, Te)

(ав. TlInS₂; I)

PrInAg₂

1999

(cp)

130: 272567c Magnetic-field dependence of the low-temperature specific heat in PrInAg₂: Support for a nonmagnetic heavy-fermion ground state. Movshovich, R.; Yatskar, A.; Hundley, M. F.; Canfield, P. C.; Beyermann, W. P. (Los Alamos National Laboratory, Los Alamos, NM 87545 USA). *Phys. Rev. B: Condens. Matter Mater. Phys.* 1999, 59(10), R6601-R6603 (Eng), American Physical Society. To elucidate the nature of the ground state in the heavy-electron system PrInAg₂, the authors measured its sp. heat for temps. between 60 mK and 2 K in magnetic fields up to 9 T. The peak max. of the low-temp. anomaly in the sp. heat (interpreted as Kondo anomaly) shifts from 0.42 K at zero field to 0.45 K at 6 T, and to 0.5 K at 9 T. The data at 3 T (after subtracting the low-temp. tail due to a Schottky anomaly) are practically indistinguishable from the zero-field data. A low-temp. nuclear Schottky anomaly from a hyperfine enhancement of the Pr nuclei was obsd. in field. Both enhanced hyperfine interaction and the insensitivity of the specific-heat anomaly to fields support the hypothesis that the Kondo effect in this system has a nonmagnetic origin.



C.A. 1999, 130, N20

Prfaz

2001

Meschel S.V. et al.,

AsH,
precokonstr.
kanopium.

J. Alloys Compd.
2001, 319 (1-2),
204 - 209
(all. lebz.)

F: PrIn₃
P: 1

2002

04.07-19Б3.22. Стандартные энталпии образования некоторых лантаноидных соединений индия определенные высокотемпературной калориметрией прямого синтеза. Standard enthalpies of formation of some lanthanide indium compo by high temperature direct synthesis calorimetry / Meschel S. V., Kleppa // J. Alloys and Compounds. - 2002. - 337, N 1-2. - С. 115-119. - Англ.

Стандартные энталпии образования некоторых лантаноидных соединений индия измерены высокотемпературной калориметрией прямого синтеза при 1373'+-'2. Получены следующие результаты (кДж/моль атомов): CeIn₃ (-49,1'+-'2,0); PrIn₃ (-51,3'+-'2,4); NdIn₃ (-51,5'+-'1,8); SmIn₃ (-52,0'+-'3,1); GdIn₃ (-48,5'+-'2,2); TbIn₃ (-53,5'+-'2,5); DyIn₃ (-48,1'+-'2,0); Ho_[5]In₃ (-50,2'+-'2,0); Er_[5]In₃ (-47,7'+-'2,5); TmIn₃ (-47,5'+-'3 Lu_[5]In₃ (-52,3'+-'1,9). Результаты сравнены с некоторыми предыдущими калориметрическими величинами и EMF-измерениями.